

EDOs (suite)

PVI





Runge-Kutta 4

c_i

	a_{ij}			
0	0	0	0	0
1/2	1/2	0	0	0
1/2	0	1/2	0	0
1	0	0	1	0
	1/6	1/3	1/3	1/6
	w_j			



Runge-Kutta 4

$$\begin{aligned}
 k_1 &= hf(x_i, y_i) \quad \text{1/2} \quad \text{1/2} &= hf_1 \\
 k_2 &= hf(x_i + c_2 h, y_i + a_{21} k_1) \quad \text{1/2} &= hf_2 \\
 k_3 &= hf(x_i + c_3 h, y_i + a_{31} k_1 + a_{32} k_2) \quad \text{1} &= hf_3 \\
 k_4 &= hf(x_i + c_4 h, y_i + a_{41} k_1 + a_{42} k_2 + a_{43} k_3) \quad \text{0} &= hf_4
 \end{aligned}$$

Diagram illustrating the Runge-Kutta 4 coefficients and weights. The coefficients c_2, c_3, c_4 are marked with green arrows and values 1/2, 1, and 1 respectively. The coefficients $a_{21}, a_{31}, a_{32}, a_{41}, a_{42}, a_{43}$ are marked with blue arrows and values 1/2, 1/2, 1, 0, 0, and 1 respectively. The weights w_1, w_2, w_3, w_4 are marked with red arrows and values 1/6, 2/6, 2/6, and 1/6 respectively.

$$y_{i+1} = y_i + w_1 k_1 + w_2 k_2 + w_3 k_3 + w_4 k_4$$

1/6
2/6
2/6
1/6

$$\begin{aligned}
 k_1 &= hf(x_i, y_i) \\
 k_2 &= hf\left(x_i + \frac{h}{2}, y_i + \frac{1}{2}k_1\right) \\
 k_3 &= hf\left(x_i + \frac{h}{2}, y_i + \frac{1}{2}k_2\right) \\
 k_4 &= hf(x_i + h, y_i + k_3)
 \end{aligned}$$



Méthodes de R-K explicites

 c_2 a_{21} c_3 a_{31} a_{32} c_4 a_{41} a_{42} a_{43} \vdots \vdots \vdots \vdots \ddots c_m a_{m1} a_{m2} a_{m3} \cdots $a_{m,m-1}$ w_1 w_2 w_3 \cdots w_{m-1} w_m



Méthodes de R-K implicites

c_1	a_{11}	a_{12}	\dots	$a_{1,m}$		
c_2	a_{21}	a_{22}	\dots	$a_{2,m}$		
c_3	a_{31}	a_{32}	a_{33}			
\vdots	\vdots	\vdots	\vdots	\ddots		
c_m	\dots			\dots		
	a_{m1}	a_{m2}		$a_{m,m}$		
	w_1	w_2	w_3	\dots	w_{m-1}	w_m



Méthode d'Euler explicite

$$f(X, t) = \begin{pmatrix} -y \\ x \end{pmatrix}$$

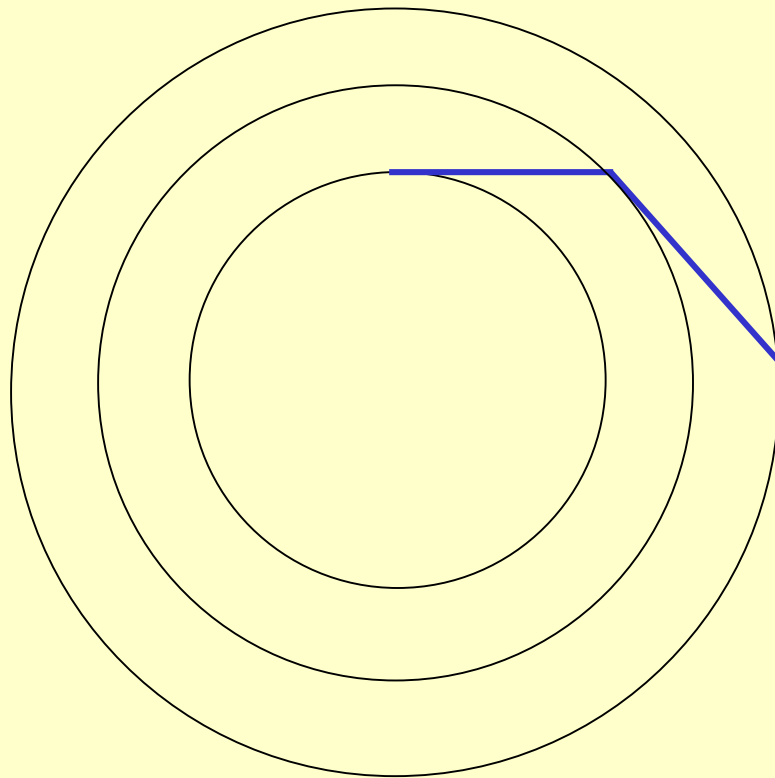
La solution exacte est un cercle:

$$X(t) = \begin{pmatrix} r \cos(t + k) \\ r \sin(t + k) \end{pmatrix}$$



La Spirale d'Euler

La solution exacte est un cercle:



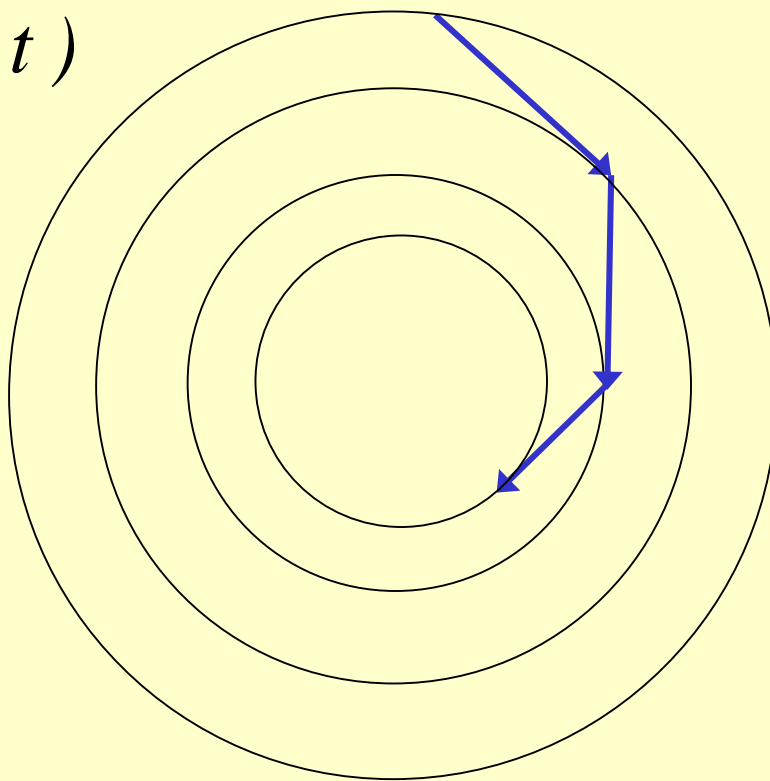


Euler Implicite

$$\frac{dX}{dt} = f(X, t)$$

$$f(X, t) = \begin{pmatrix} -y \\ x \end{pmatrix}$$

$$X(t) = \begin{pmatrix} r \cos(t + k) \\ r \sin(t + k) \end{pmatrix}$$





Euler: Explicite vs. Implicite

$$\frac{dy}{dt} = f(t, y)$$

$$y_{i+1} = y_i + f(x_i, y_i)h \quad \text{vs.} \quad y_{i+1} = y_i + f(\underline{x_{i+1}}, y_{i+1})h$$



Euler Explicite

$$\frac{dx}{dt} = -kx$$

$$x(t) = x_0 e^{-kt}$$

En général

$$x_{i+1} = x_i + hf(t+h, x_i)$$

Pour ce cas

$$x_{i+1} = x_i - h k x_i$$



$$x_1 = (1 - kh) x_0$$

$$x_i = (1 - kh)^i x_0$$

$$|1 - hk| \leq 1 \quad \text{Contrainte}$$



Stabilité

$$\left. \begin{array}{l} \frac{dy}{dt} = -ay \\ y(0) = y_0 \end{array} \right\} \rightarrow y = y_0 e^{-at}$$

si $y(0) = y_0 + \varepsilon$, alors $y^* = (y_0 + \varepsilon)e^{-at}$

soit $E(x) = y^*(t) - y(t) \Rightarrow \begin{cases} dE / dt = -aE \\ E(0) = \varepsilon \end{cases}$

$$E = \varepsilon e^{-at} \Rightarrow \begin{cases} a < 0: \text{l'erreur croit exponentiellement} \rightarrow \text{instable} \\ a = 0: \text{stable (neutre)} \\ a > 0: \text{l'erreur decroit exponentiellement} \rightarrow \text{stable} \end{cases}$$



Euler explicite

$$\frac{dy}{dt} = f(x, y) = -ay; \quad y(0) = y_0$$

$$y_{i+1} = y_i + \frac{dy_i}{dt} h = y_i + (-ay_i)h = (1 - ah)y_i$$

Condition de stabilité

$$\left| \frac{y_{i+1}}{y_i} \right| \leq 1 \quad \text{ou} \quad |1 - ah| \leq 1$$

Region de stabilité absolue

$$-1 \leq 1 - ah \leq 1$$

\Rightarrow

$$0 \leq ah \leq 2$$



Euler implicite

$$\frac{dy}{dt} = f(x, y) = -ay ; \quad y(0) = y_0$$

$$y_{i+1} = y_i + \frac{dy_{i+1}}{dt} h ; \quad \frac{dy_{i+1}}{dt} = -ay_{i+1}$$

$$y_{i+1} = \frac{y_i}{1 + ah}$$

$$\left| \frac{y_{i+1}}{y_i} \right| = \left| \frac{1}{1 + ah} \right| \leq 1 \quad \text{pour tout } h$$



Régions de Stabilité

Euler explicite

$$0 \leq ah \leq 2$$

$$y_{i+1} = (1 - ah)y_i$$



Questions

- Stabilité: la solution est bornée, mais est-elle semblable à la solution réelle?
- Précision: quel Δt (h) utiliser pour obtenir une erreur en dessous d'un certain seuil?



Euler Implicite

$$\frac{dy}{dt} = -ky$$

$$y(t) = y_0 e^{-kt}$$

$$y_{i+1} = y_i - hky_{i+1}$$



$$y_{i+1} = \left(\frac{1}{1 + hk} \right) y_i$$

Stable, pas de limite pour h, mais on a la même précision que celle de la méthode explicite



Euler implicite

En général

$$y_{i+1} = y_i + hf(t+h, y_i + \Delta y)$$

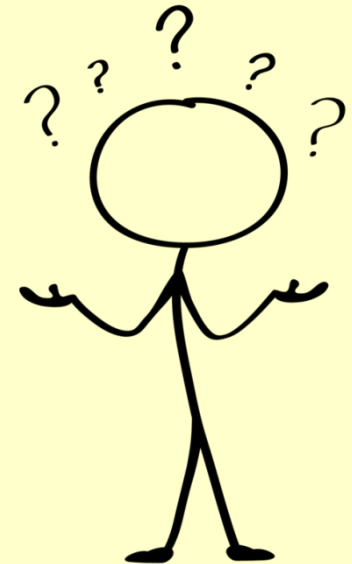
$$f(t+h, y_i + \Delta y) = f(t+h, y_i) + \frac{df}{dy} \Delta y \quad \text{Taylor}$$

$$\Delta y = y_{i+1} - y_i = h \left(f(t+h, y_i) + \frac{df}{dy} \Delta y \right)$$



Euler implicite

$$\Delta y = \frac{hf(t+h, y_i)}{1 - h \frac{df}{dy}}$$





Systemes

$$y' = Ay \quad f(t, y) = Ay$$

$$y_{k+1} = y_k + Ay_{k+1}h_k$$

$$(I - h_k A)y_{k+1} = y_k$$

On doit résoudre un système à chaque itération

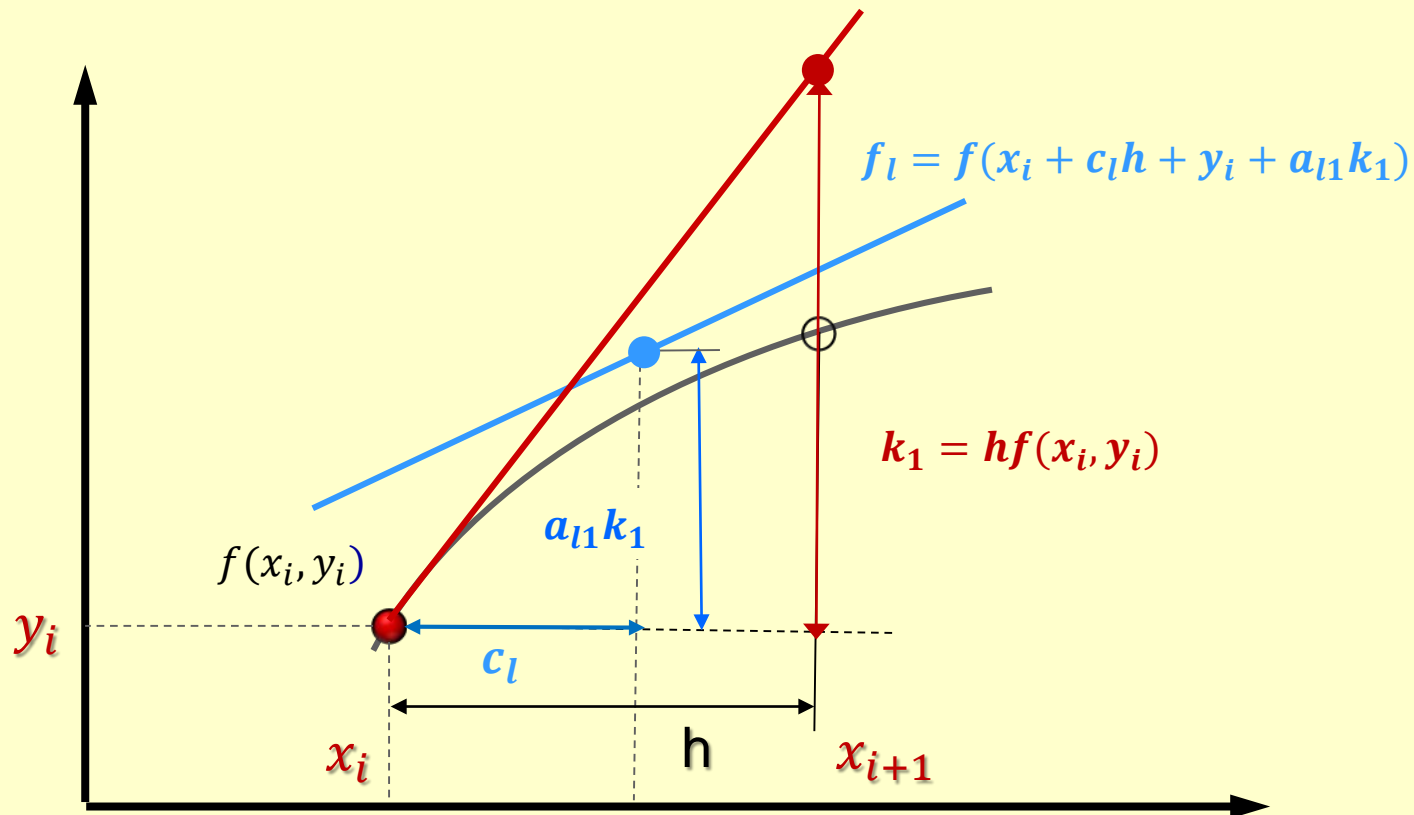


Méthodes R-K implicites

c_1	a_{11}	a_{12}	\cdots		$a_{1,m}$	
c_2	a_{21}	a_{22}	\cdots		$a_{2,m}$	
c_3	a_{31}	a_{32}	a_{33}			
\vdots	\vdots	\vdots	\vdots	\ddots		
c_m	\cdots				\cdots	
	a_{m1}	a_{m2}			$a_{m,m}$	
	w_1	w_2	w_3	\cdots	w_{m-1}	w_m

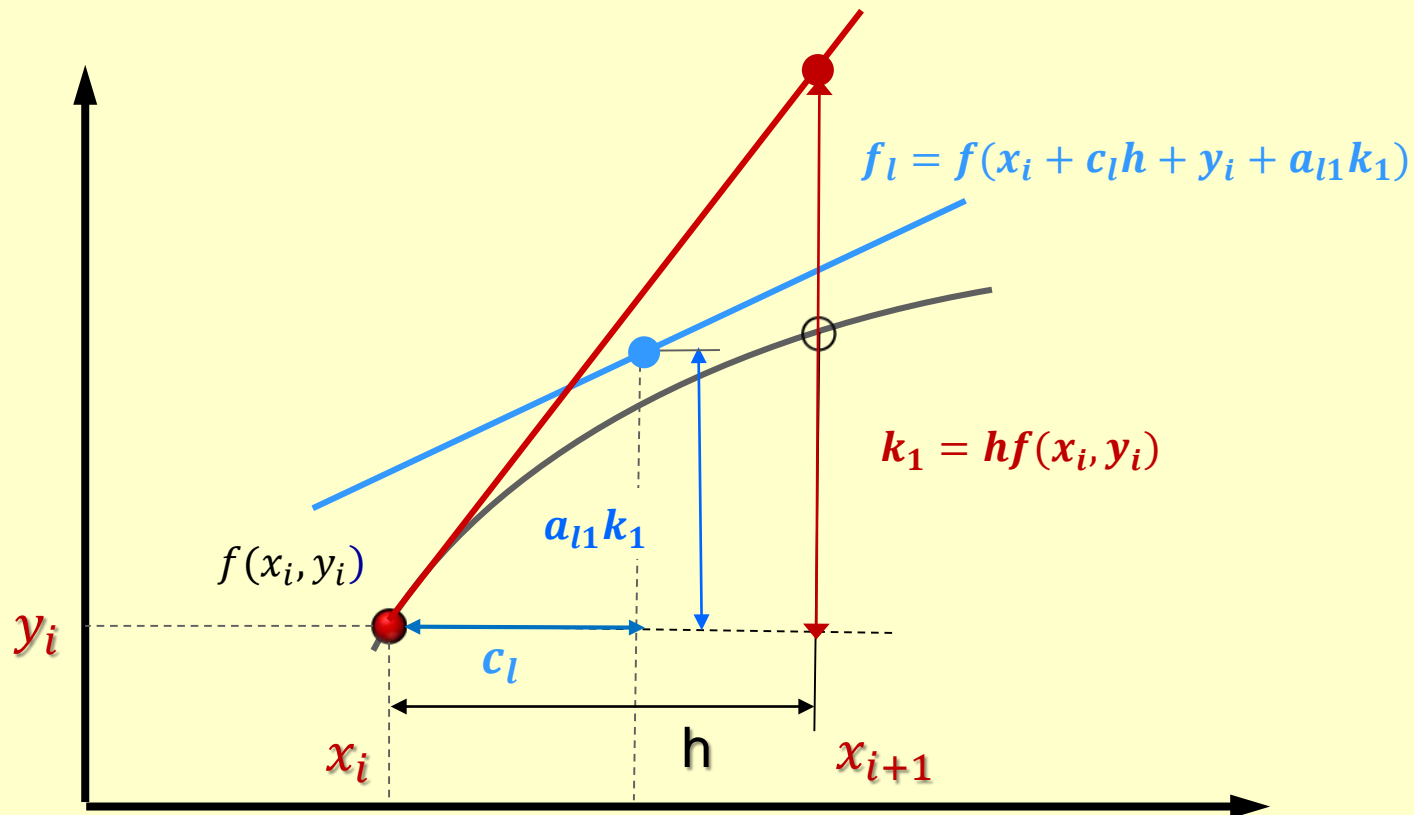


Position c_l



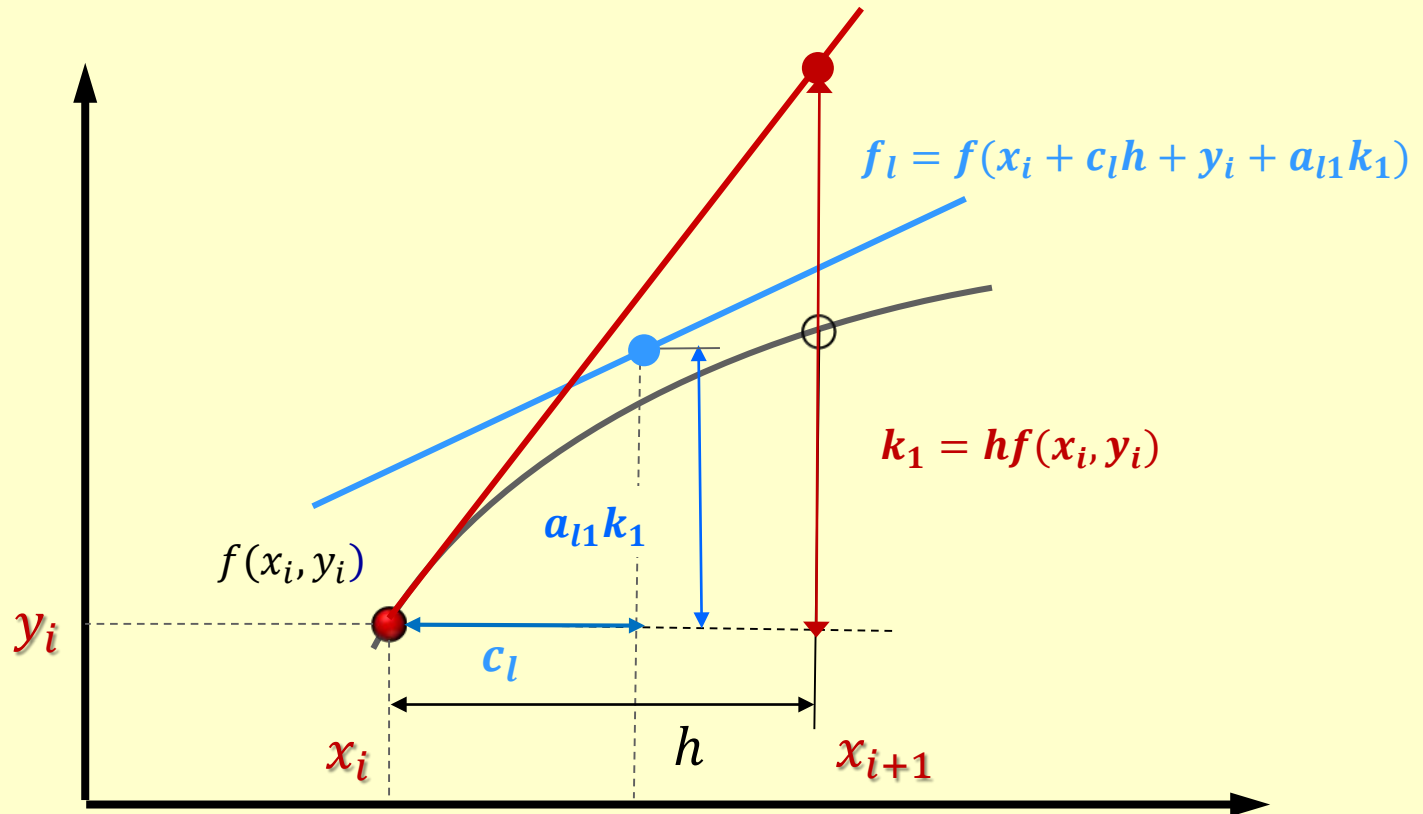


Position c_l



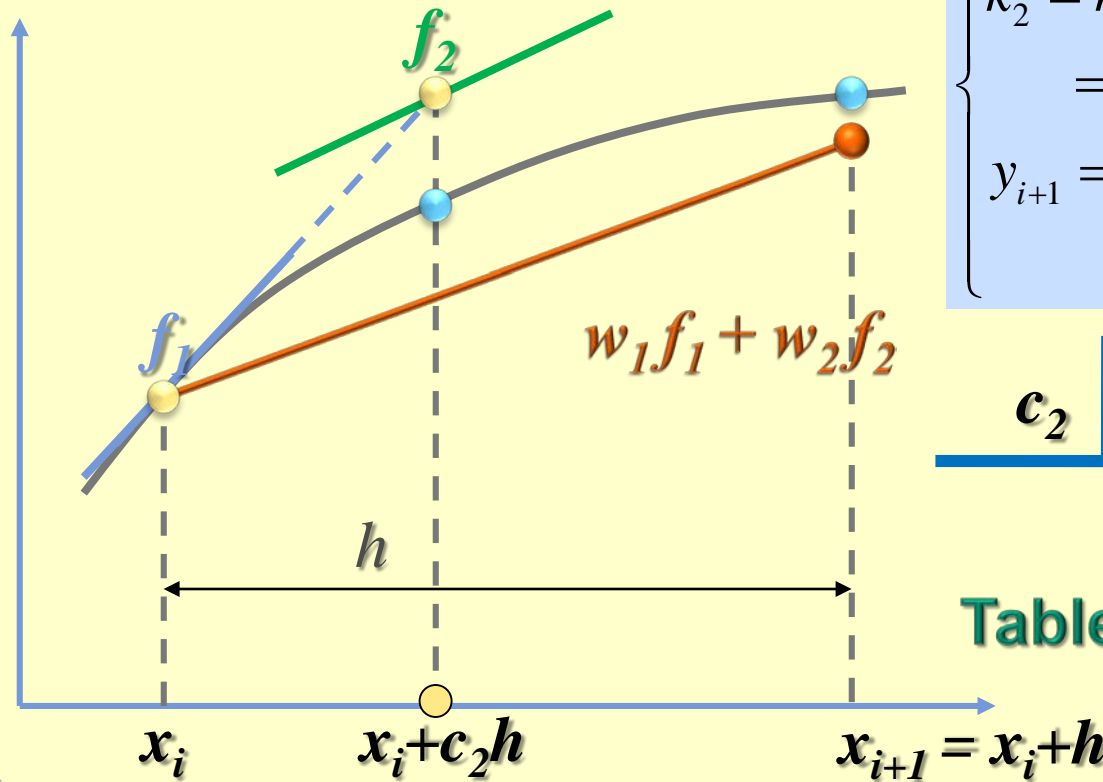


Deux pentes pondérées





Deux pentes pondérées



$$\begin{cases} k_1 = hf(x_i, y_i) = hf_1 \\ k_2 = hf(x_i + c_2 h, y_i + a_{21} k_1) \\ \quad = hf_2 \\ y_{i+1} = y_i + w_1 k_1 + w_2 k_2 \\ \quad = y_i + h(w_1 f_1 + w_2 f_2) \end{cases}$$

c_2	a_{21}
w_1	w_2

Tableau de Butcher



Formulation générale

c_1	a_{11}	a_{12}	\dots	$a_{1,m}$
c_2	a_{21}	a_{22}	\dots	$a_{2,m}$
c_3	a_{31}	a_{32}	a_{33}	\ddots
\vdots	\vdots	\vdots	\ddots	
c_m	\dots	\dots	\dots	\dots
	a_{m1}	a_{m2}	\dots	$a_{m,m}$
	w_1	w_2	w_3	\dots
				w_{m-1}
				w_m

$$k_l = hf \left(x_i + c_l h, y_i + \sum_{m=1}^s a_{lm} k_m \right)$$

$$k_l = \Delta y_l$$

$$y_{i+1} = y_i + \sum_{l=1}^s b_l k_l$$

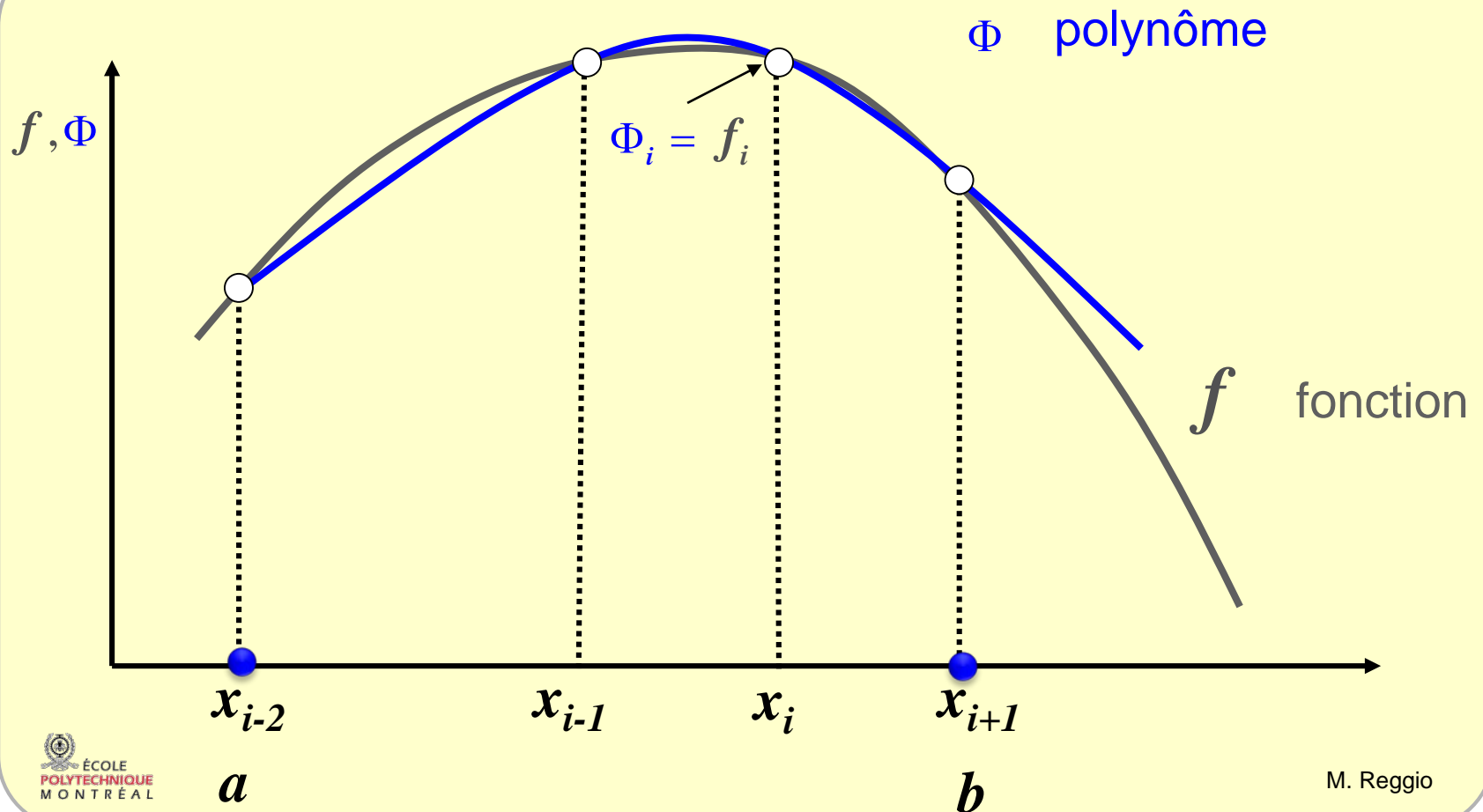
$$b_l = w_l$$

$$c_m = \sum_{j=1}^s a_{mj} \quad m = 1, 2, \dots, s$$

$$\sum_{l=1}^s b k_l = w_1 \Delta y_1 + w_2 \Delta y_2 + \dots + w_s \Delta y_s$$

$$\begin{array}{c|c} c & A \\ \hline & b^T \end{array}$$

Approximation de l'intégrale





Collocation

quadrature

$$I = \int_a^b f(x) dx$$

$$\Phi_j = f_j$$

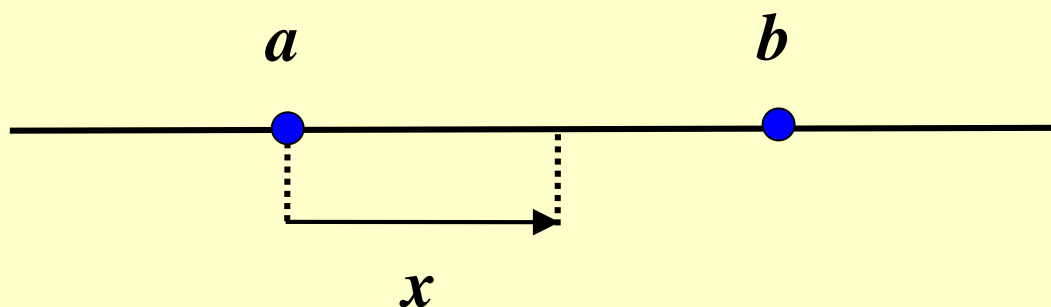
$$L_j = \prod_{i=1}^s \frac{(x - x_i)}{(x_j - x_i)} \quad \text{polynôme de Lagrange}$$

$$w_j = \int_a^b L_j dx$$



Collocation

$$I = \int_a^b f(x) dx \approx \sum_{j=1}^s w_j f(x_j)$$

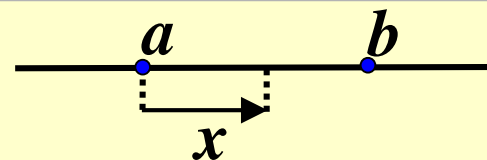




Collocation

$$L_j = \prod_{i=1}^s \frac{(x - x_i)}{(x_j - x_i)}$$

Exemple: polynôme linéaire

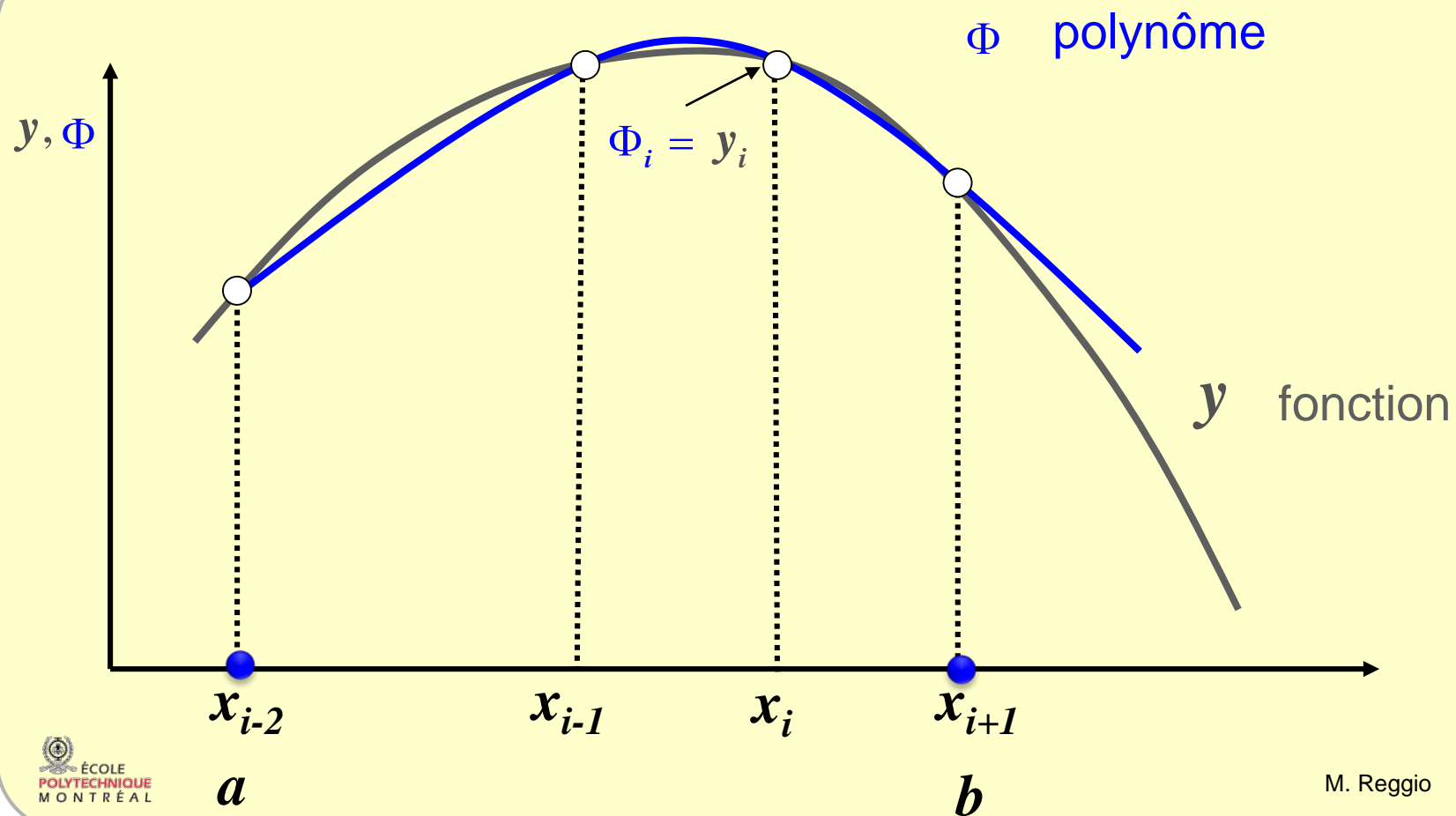


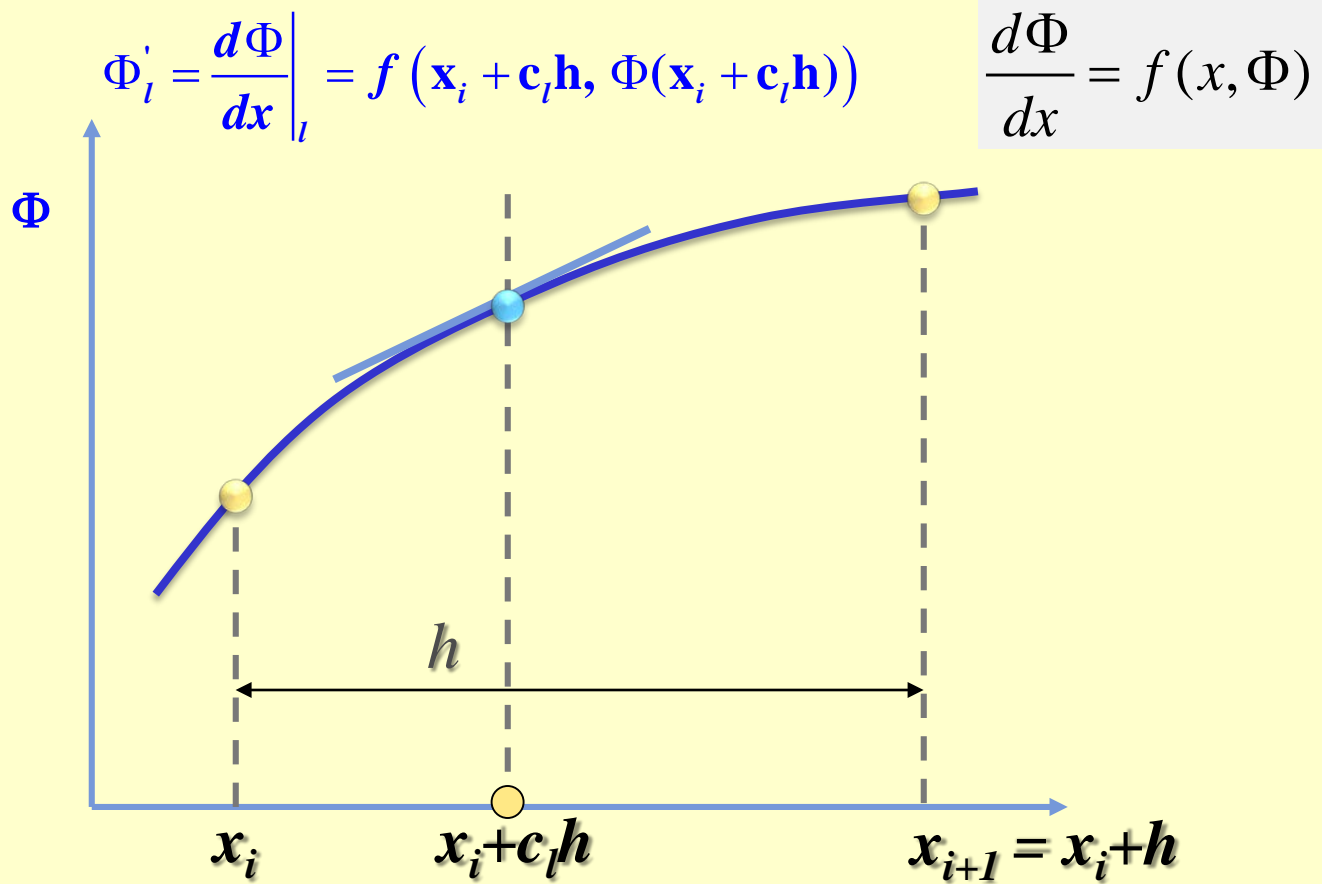
$$L_1 = \frac{(x - b)}{(a - b)}$$

$$L_2 = \frac{(x - a)}{(b - a)}$$

$$w_1 = \int_a^b \frac{(x - b)}{(a - b)} dx = \frac{(x - b)^2}{2(a - b)} \Big|_a^b = \frac{1}{2}(b - a)$$

$$I \approx w_1 f_1 + w_2 f_2 = \frac{b - a}{2} (f(a) + f(b))$$







Quadrature et RK

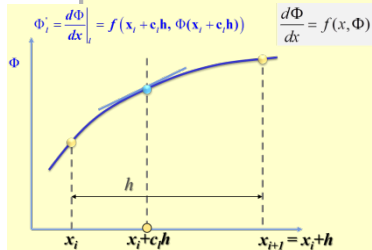
$$\frac{dy}{dx} = f(x, y)$$

$$\frac{d\Phi}{dx} = f(x, \Phi)$$

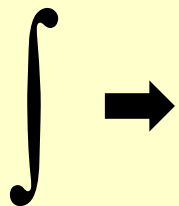
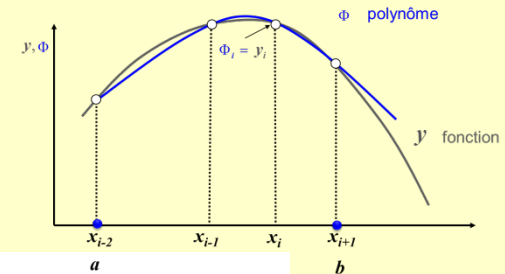
$$\phi(x_{i+1}) = y_{i+1}, \quad \phi(x_i) = y_i, \quad x_{i+1} = x_i + h$$

$$x_m$$

$$K_m = \phi'(x_i + c_m h) = f(x_i + c_m h, \phi(x_i + c_m h)), m = 1, 2, \dots$$



$$K_m = \phi'(x_i + \mathbf{c}_m h)$$



$$\Phi'(x) = h \sum_{m=1}^s L_m(c) K_m$$

Quadrature de Lagrange pour Φ'

M. Reggio



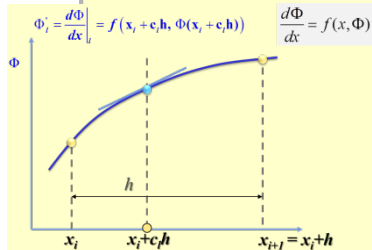
Quadrature et RK

$$\frac{dy}{dx} = f(x, y)$$

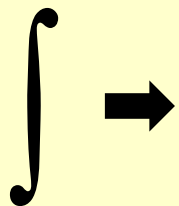
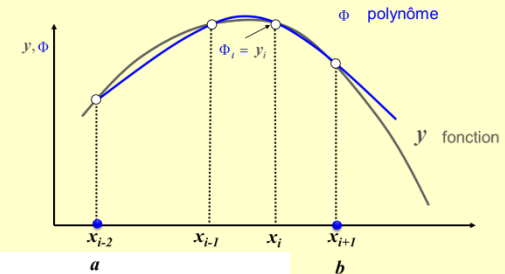
$$\frac{d\Phi}{dx} = f(x, \Phi)$$

$$\phi(x_{i+1}) = y_{i+1}, \quad \phi(x_i) = y_i, \quad x_{i+1} = x_i + h$$

$$K_m = \phi'(x_m) = f(x_m, \phi(x_m)), m = 1, 2, \dots$$



$$K_m = \phi'(x_m)$$



$$\Phi'(x) = \sum_{m=1}^s L_m(c) K_m$$

Quadrature de Lagrange pour Φ'

M. Reggio



$$\Phi'(x) = \sum_{m=1}^s L_m(c) K_m$$

 x_m

$$K_m = \phi'(x_i + \mathbf{c}_m h)$$

 \int

$$L_m(c) = \prod_{l \neq m} \frac{(c - c_l)}{(c_m - c_l)} \quad 1 \leq l \leq s$$

$$\phi(x_i + \mathbf{c}_l h) - \phi(x_i) = \sum_{m=1}^s \left(\int_0^{\mathbf{c}_l} L_m(c) dc \right) K_m$$

 y_l
 y_i
 a_{lm}

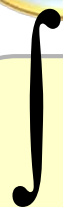
$$\phi(x_{i+1}) - \phi(x_i) = \sum_{m=1}^s \left(\int_0^1 L_m(c) dc \right) K_m$$

 y_{i+1}
 y_i
 b_l



$$\Phi'(x) = \sum_{m=1}^s L_m(c) K_m$$

$$K_m = \phi'(x_m)$$



$$L_m(c) = \prod_{l \neq m} \frac{(c - c_l)}{(c_m - c_l)} \quad 1 \leq l \leq s$$

$$\phi(x_l) - \phi(x_i) = \sum_{m=1}^s \left(\int_0^{c_l} L_m(c) dc \right) K_m$$

 y_l y_i a_{lm}

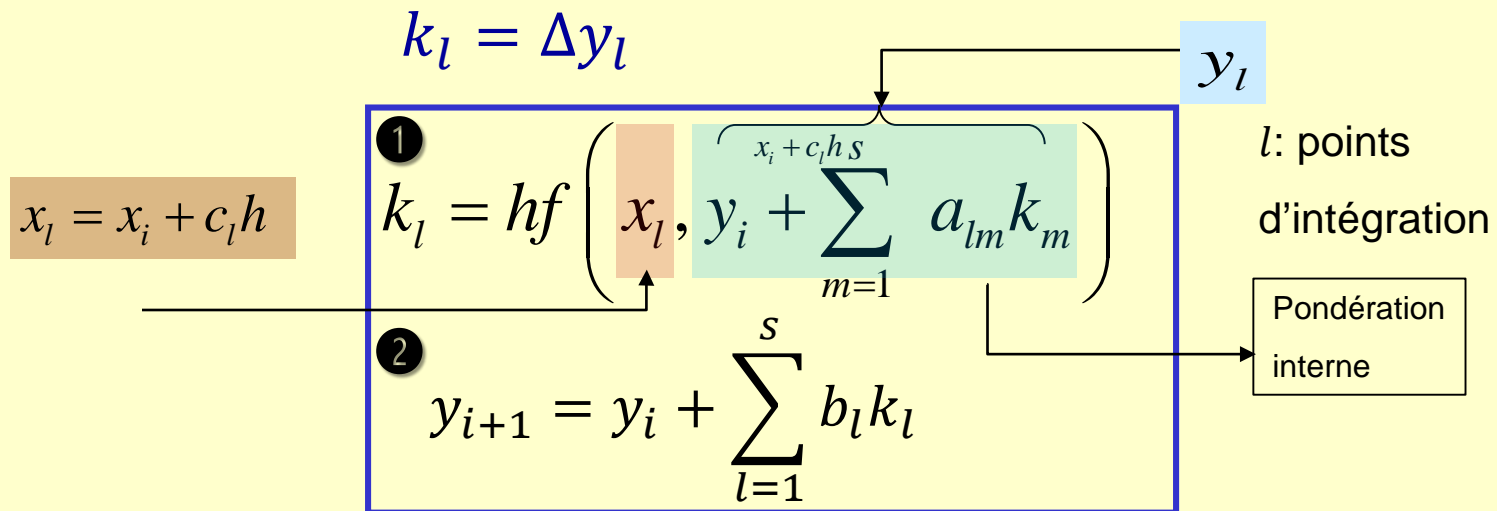
$$\phi(x_{i+1}) - \phi(x_i) = \sum_{m=1}^s \left(\int_0^1 L_m(c) dc \right) K_m$$

 y_{i+1} y_i b_l



$$a_{lm} = \int_0^{c_l} L_m(c) dc$$

$$b_m = \int_0^1 L_m(c) dc \quad l, m = 1, \dots$$



$$\sum_{l=1}^s b_l k_l = w_1 \Delta y_1 + w_2 \Delta y_2 + \dots + w_s \Delta y_s$$

Pondération finale des Δy_l

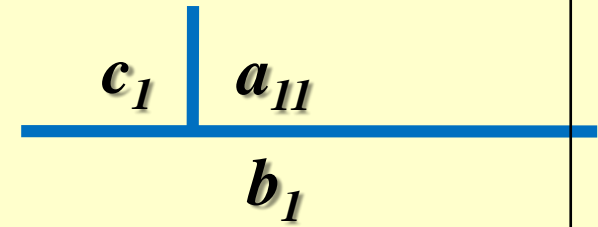
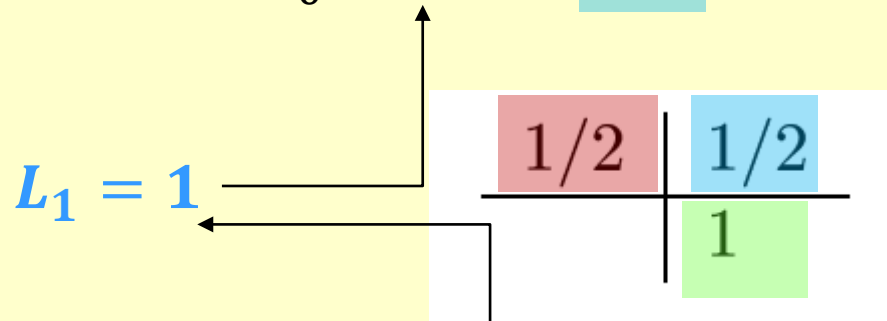
M. Reggio



Un point de Gauss: $s=1$, $c=1/2$

$$a_{11} = \int_0^{1/2} 1 \, dx = \frac{1}{2}$$

$$b_1 = \int_0^1 1 \, dx = 1$$



Méthode *implicite* du point milieu

$$a_{lm} = \int_0^{c_l} L_m(c) \, dc$$

$$b_m = \int_0^1 L_m(c) \, dc$$



Un point de Radau: $s=1$, $c=1$

$$a_{11} = \int_0^1 1dx = 1$$

$$b_1 = \int_0^1 1dx = 1$$

$$L_1 = 1$$

1	1
	1

$$\begin{array}{c|c} c_1 & a_{11} \\ \hline & b_1 \end{array}$$

Méthode d'Euler *implicite*

$$a_{lm} = \int_0^{c_l} L_m(c)dc$$

$$b_m = \int_0^1 L_m(c)dc$$

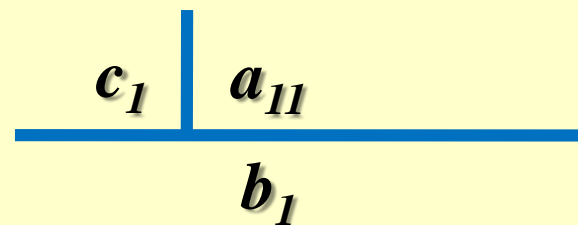


Un point de Radau: $s=1, c=1$

$$a_{11} = \int_0^1 1 dx = 1 \quad b_1 = \int_0^1 1 dx = 1$$

$$L_1 = 1$$

1	1
	1



Méthode d'Euler *implicite*

$$a_{lm} = \int_0^{c_l} L_m(c) dc$$

$$b_m = \int_0^1 L_m(c) dc$$



Deux points de Lobatto $c_1 = 0, c_2 = 1$

$$a_{21} = \int_0^{c_2=1} (1-x) dx = 1/2 \quad L_1 \quad b_1 = \int_0^1 (1-x) dx = 1/2$$

$$a_{22} = \int_0^{c_2=1} x dx = 1/2 \quad L_2 \quad b_2 = \int_0^1 x dx = 1/2$$

0	0	0		c_1	a_{11}	a_{12}
1	$1/2$	$1/2$		c_2	a_{21}	a_{22}
	$1/2$	$1/2$			b_1	b_2

Méthode trapezoïdale *implicite*

$$a_{lm} = \int_0^{c_l} L_m(c) dc$$

$$b_m = \int_0^1 L_m(c) dc$$



Euler implicite

$$y_{i+1} = y_i + hf(x_{i+1}, y_{i+1})$$

$$F_i^k = y_{i+1}^k - y_i^k - hf(y_{i+1}^k, t_{i+1})$$

$$\frac{\partial F}{\partial y} = 1 - h \frac{\partial f}{\partial y}$$

MÉTHODE

de

NEWTON



$$\left(1 - h \frac{\partial f}{\partial y}\right) \delta y_{i+1} = -F(y_{i+1}^k)$$

$$\begin{aligned} F_i^k &= y_{i+1}^k - y_i^k - hf(y_{i+1}^k, t_{i+1}) \\ y_{i+1}^{k+1} &= y_{i+1}^k + \delta y_{i+1} \end{aligned}$$

M. Reggio



Méthode Trapezoïdale

$$y_{i+1} = y_i + \frac{h}{2} f(y_{i+1}, t_{i+1}) + \frac{h}{2} f(y_i, t_i)$$

Explicite

$$y_{i+1} - \frac{h}{2} f(\underbrace{y_i + hf(y_i, t_i), t_{i+1}}_{\approx y_{i+1}}) = y_i + \frac{h}{2} f(y_i, t_i)$$

Implicite

$$y_{i+1} - \frac{h}{2} f(y_{i+1}, t_{i+1}) = y_i + \frac{h}{2} f(y_i, t_i)$$

$$F_i^k = y_{i+1}^k - y_i^k - \frac{h}{2} f(y_i^k, t_i) - \frac{h}{2} f(y_{i+1}^k, t_{i+1})$$



Méthode Trapezoïdale

MÉTHODE
de
NEWTON

$$\left(1 - h \frac{\partial f}{2 \partial y}\right) \delta y_i = -F_i^k$$

$$y_{i+1}^{k+1} = y_i^k + \delta y_i$$

$$F_i^k = y_{i+1}^k - y_i^k - \frac{h}{2} f(y_i^k, t_i) - \frac{h}{2} f(y_{i+1}^k, t_{i+1})$$



Méthode du point milieu

Explicite

$$y_{i+1} = y_i + hf \left(\frac{y_i}{2} + \frac{1}{2} \underbrace{f(y_i + hf(y_i, t_i)), t_i + \frac{h}{2}}_{\approx y_{i+1}} \right)$$

Implicite

$$y_{i+1} = y_i + hf \left(\frac{y_i}{2} + \frac{y_{i+1}}{2}, t_i + \frac{h}{2} \right)$$

$$F_i^k = y_{i+1}^k - y_i^k - hf \left(\frac{y_i}{2} + \frac{y_{i+1}}{2}, t_i + \frac{h}{2} \right)$$



Méthode du point milieu

$$y_{i+1} = y_i + hf \left(\frac{y_i}{2} + \frac{y_{i+1}}{2}, t_i + \frac{h}{2} \right)$$

$$\left[1 - h \frac{\partial f \left(\frac{y_i}{2} + \frac{y_{i+1}}{2}, t_i + \frac{h}{2} \right)}{\partial y} \right] \delta y_i = -F_i^k$$

$$y_{i+1} = y_i + \delta y_i$$

$$F_i^k = y_{i+1}^k - y_i^k - hf \left(\frac{y_i}{2} + \frac{y_{i+1}}{2}, t_i + \frac{h}{2} \right)$$



Deux points c_1 et c_2

$$Y_1 = y_i + ha_{11}f(x_i + c_1h, Y_1) + ha_{12}f(x_i + c_2h, Y_1)$$

$$Y_2 = y_i + ha_{21}f(x_i + c_1h, Y_2) + ha_{22}f(x_i + c_2h, Y_2)$$

$$k_l = hf \left(x_l, y_i + \sum_{m=1}^s a_{lm} k_m \right)$$
$$y_{i+1} = y_i + \sum_{l=1}^s b_l k_l$$

$Y_l, \quad l = 1, 2$



Systeme 2x2

$$F_1 = Y_1 - y_i - ha_{11}f(x_i + c_1h, Y_1) - ha_{12}f(x_i + c_2h, Y_2)$$

$$F_2 = Y_2 - y_i - ha_{21}f(x_i + c_1h, Y_1) - ha_{22}f(x_i + c_2h, Y_2)$$

$$Y = \begin{bmatrix} Y_1 \\ Y_2 \end{bmatrix} \quad \Rightarrow \quad \begin{aligned} J \delta Y^k &= -F(Y^k) \\ Y^{k+1} &= Y^k + \delta Y^k \end{aligned} \quad \Leftarrow \quad F = \begin{bmatrix} F_1 \\ F_2 \end{bmatrix}$$



$$J = \begin{bmatrix} J_{11} & J_{12} \\ J_{21} & J_{22} \end{bmatrix} \begin{bmatrix} \delta Y_1 \\ \delta Y_2 \end{bmatrix} = - \begin{bmatrix} F_1 \\ F_2 \end{bmatrix}$$

Boucle de Newton

$$\left\{ \begin{array}{l} \begin{bmatrix} 1 - ha_{11} & -ha_{12} \\ -ha_{21} & 1 - ha_{22} \end{bmatrix} \begin{bmatrix} \delta Y_1 \\ \delta Y_2 \end{bmatrix} = - \begin{bmatrix} F_1 \\ F_2 \end{bmatrix} \quad 1 \\ \begin{bmatrix} Y_1 \\ Y_2 \end{bmatrix}^{(k+1)} = \begin{bmatrix} Y_1 \\ Y_2 \end{bmatrix}^{(k)} + \begin{bmatrix} \delta Y_1 \\ \delta Y_2 \end{bmatrix} \quad 2 \end{array} \right.$$



Autres méthodes

Runge-Kutta

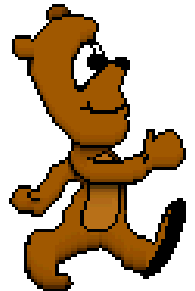
- un pas à la fois
- utilisent des valeurs intermédiaires entre x_i et x_{i+1}
- plusieurs évaluations par pas

Multi-pas

- utilisent plusieurs points en x_i, x_{i-1}, x_{i-2} , etc
- une seule évaluation par point



Méthodes Multi-pas





Méthodes multi-pas

L'idée derrière les méthodes multi-pas est l'utilisation de valeurs de y et/ou de f , soit dy/dx , pour construire un polynôme Φ pour approcher la fonction



Comparaison

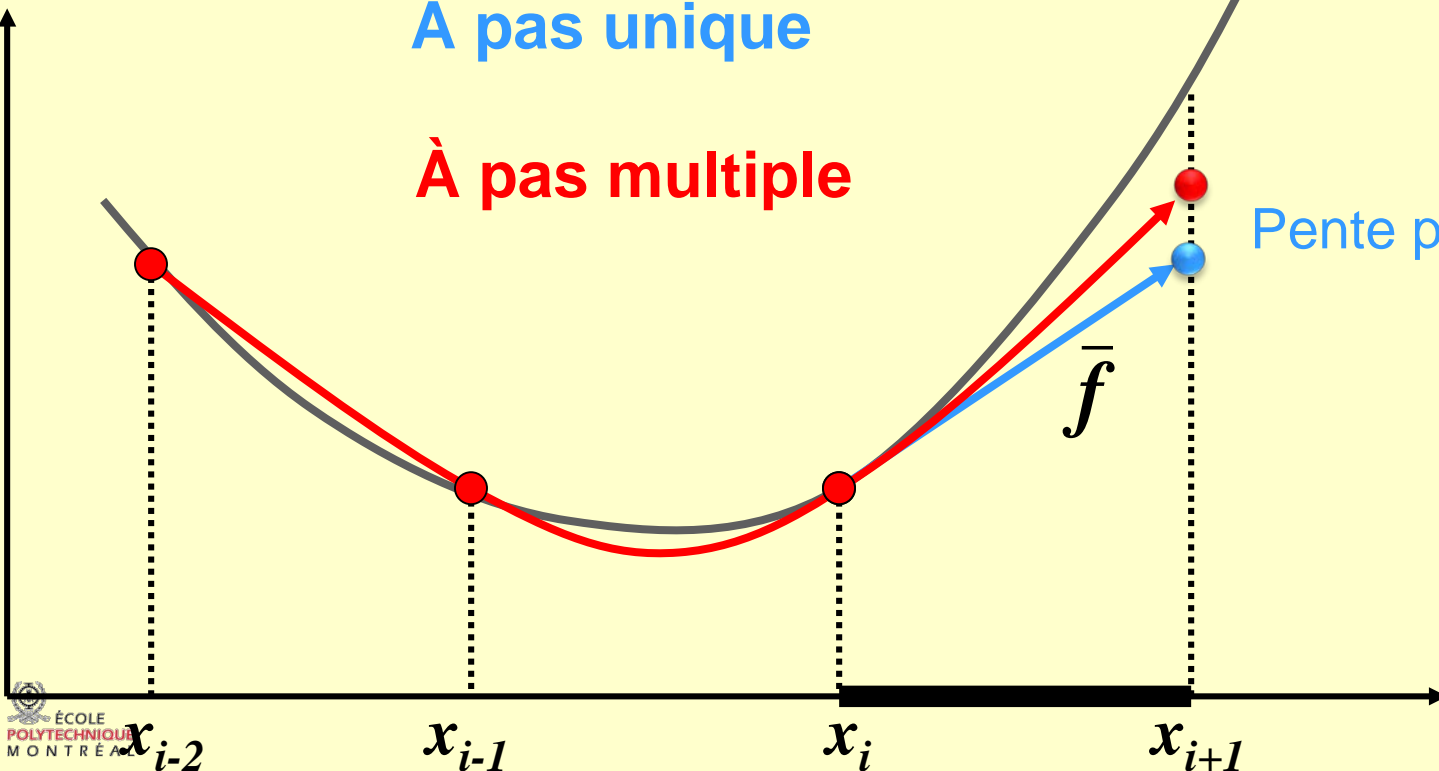
Méthodes à pas unique et à pas multiple

À pas unique

À pas multiple

Pente pondérée

\bar{f}



M. Reggio



Adams-Bashforth



Développement classique

Série de Taylor

$$y_{i+1} = y_i + h \left. \frac{dy}{dx} \right|_i + \frac{h^2}{2} \left. \frac{d^2y}{dx^2} \right|_i + \cdots \frac{h^n}{n!} \left. \frac{d^n y}{dx^n} \right|_i$$



$$y_{i+1} = y_i + h f_i + \frac{h^2}{2} f'_i + \cdots \frac{h^n}{n!} f_i^{n-1}$$



Formule d'ordre deux

$$y_{i+1} = y_i + hf_i + \frac{h^2}{2} f'_i + \theta(h^3)$$

$$f'_i = \frac{f_i - f_{i-1}}{h} + \theta(h)$$

$$y_{i+1} = y_i + \frac{h}{2}(3f_i - f_{i-1})$$



Adams-Moulton



Développement en arrière

$$y_i = y_{i+1} - hf_{i+1} + \frac{h^2}{2}f'_{i+1} - \frac{h^3}{6}f''_{i+1} + \dots$$

$$y_{i+1} = y_i + hf_{i+1} - \frac{h^2}{2}f'_{i+1} + \frac{h^3}{6}f''_{i+1} + \dots$$



Formule d'ordre deux

$$y_{i+1} = y_i + hf_{i+1} - \frac{h^2}{2}f'_{i+1} + \theta(h^3)$$

$$f'_{i+1} = \frac{f_{i+1} - f_i}{h} + \theta(h)$$

$$y_{i+1} = y_i + \frac{h^2}{2}(f_{i+1} + f_i)$$



Adams-Bashforth

Formule générale

$$y_{i+1} = y_i + h \sum_{k=0}^n \beta_{nk} f_{i-k} + O(h^{n+2})$$



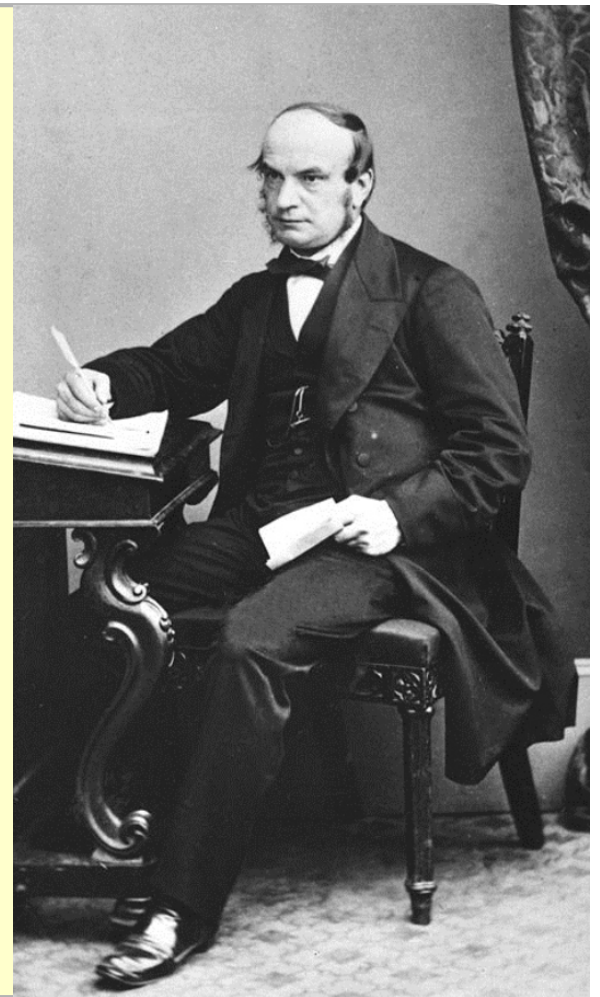
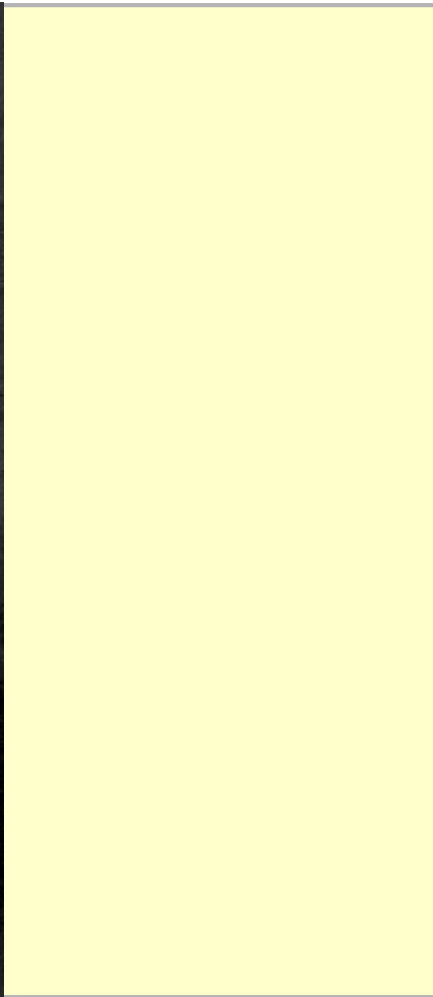
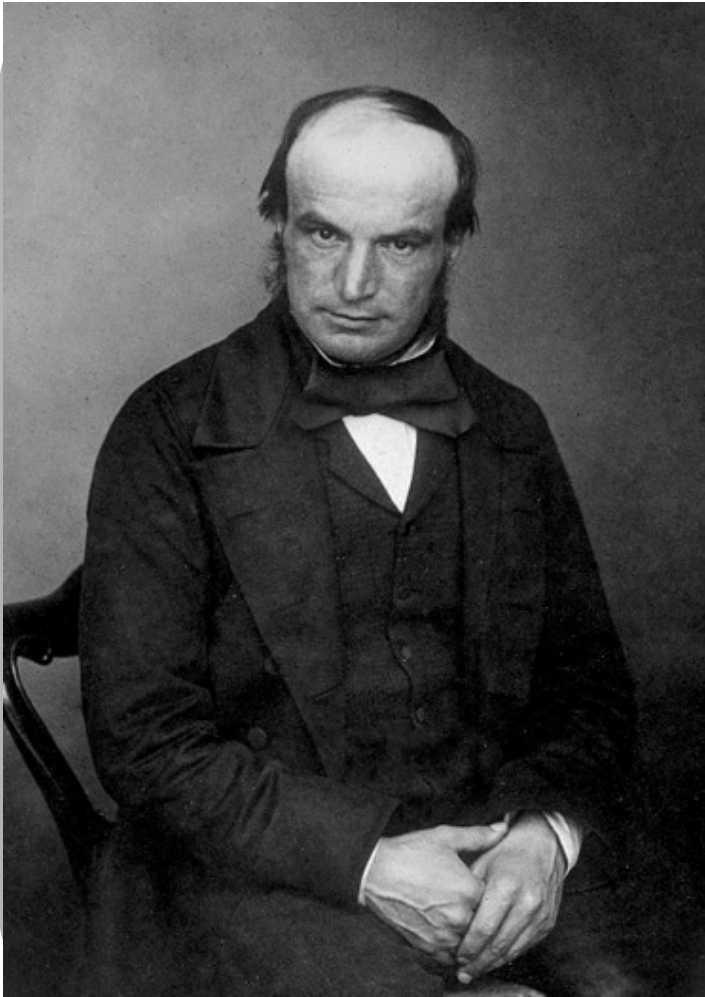
Adams-Moulton

Formule générale

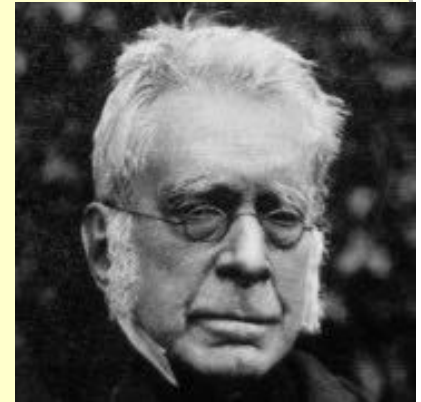
$$y_{i+1} = y_i + h \sum_{k=0}^n \overset{\updownarrow}{\beta}_{nk} f_{i+1-k} + O(h^{n+2})$$



John C. Adams(1819-1892)



Francis Bashforth (1819-1912)



An Attempt to Test the Theories of Capillary Action By Comparing the Theoretical and Measured Forms of Drops of Fluid

Francis Bashforth 1819-1912

THE THEORETICAL AND MEASURED FORMS
OF DROPS OF FLUID,

BY

FRANCIS BASHFORTH, B.D.

LATE PROFESSOR OF APPLIED MATHEMATICS TO THE ADVANCED CLASS
OF ROYAL ARTILLERY OFFICERS, WOOLWICH,
AND FORMERLY FELLOW OF ST JOHN'S COLLEGE, CAMBRIDGE.

WITH

AN EXPLANATION OF THE METHOD OF INTEGRATION
EMPLOYED IN CONSTRUCTING THE TABLES WHICH GIVE THE THEORETICAL
FORMS OF SUCH DROPS,

BY

J. C. ADAMS, M.A, F.R.S.

FELLOW OF PEMBROKE COLLEGE, AND LOWNDSEAN PROFESSOR OF ASTRONOMY AND GEOMETRY
IN THE UNIVERSITY OF CAMBRIDGE.



Cambridge :

AT THE UNIVERSITY PRESS.

1883



Adams-Bashforth

Méthode à deux pas

$$y_{n+1} = y_n + h \left[\frac{3}{2} f(t_n, y_n) - \frac{1}{2} f(t_{n-1}, y_{n-1}) \right]$$

Pour démarrer, y_1 doit être calculée par une autre méthode, avec celle de Runge-Kutta, par exemple



Adams-Bashforth

À trois pas

$$y_{n+1} = y_n + \frac{h}{12} [23f(t_n, y_n) - 16f(t_{n-1}, y_{n-1}) + 5f(t_{n-2}, y_{n-2})]$$

À quatre pas

$$y_{n+1} = y_n + \frac{h}{24} [55f(t_n, y_n) - 59f(t_{n-1}, y_{n-1}) + 37f(t_{n-2}, y_{n-2}) - 9f(t_{n-3}, y_{n-3})]$$



Adams-Bashforth

$$\left\{ \begin{array}{l} 2 \text{ pas} : y_{i+1} = y_i + \frac{h}{2}(3f_i - f_{i-1}) \\ 3 \text{ pas} : y_{i+1} = y_i + \frac{h}{12}(23f_i - 16f_{i-1} + 5f_{i-2}) \\ 4 \text{ pas} : y_{i+1} = y_i + \frac{h}{24}(55f_i - 59f_{i-1} + 37f_{i-2} - 9f_{i-3}) \\ 5 \text{ pas} : y_{i+1} = y_i + \frac{h}{720}(1901f_i - 2774f_{i-1} + 2616f_{i-2} - 1274f_{i-3} + 251f_{i-4}) \end{array} \right.$$

Méthodes d'Adams-Bashforth

<i>ordre</i>	b_0	b_1	b_2	b_3	b_4	b_5	<i>err. de troncature</i>
1	1						$\frac{1}{2}h^2 f'(\eta)$
2	$\frac{3}{2}$	$-\frac{1}{2}$					$\frac{5}{12}h^3 f''(\eta)$
3	$\frac{23}{12}$	$-\frac{16}{12}$	$\frac{5}{12}$				$\frac{9}{24}h^4 f'''(\eta)$
4	$\frac{55}{24}$	$-\frac{59}{24}$	$\frac{37}{24}$	$-\frac{9}{24}$			$\frac{251}{720}h^5 f^{(4)}(\eta)$
5	$\frac{1901}{720}$	$-\frac{2774}{720}$	$\frac{2616}{720}$	$-\frac{1274}{720}$	$\frac{251}{720}$		$\frac{475}{1440}h^6 f^{(5)}(\eta)$
6	$\frac{4277}{720}$	$-\frac{7923}{720}$	$\frac{9982}{720}$	$-\frac{7298}{720}$	$\frac{2877}{720}$	$-\frac{475}{720}$	$\frac{19087}{60480}h^7 f^{(6)}(\eta)$

Forest Ray Moulton (1872-1952)





Adams-Moulton

Adams-Moulton à 1 pas (Euler modifiée: Heun)

$$y_{n+1} = y_n + \frac{h}{2} [f(t_{n+1}, y_{n+1}) + f(t_n, y_n)]$$

Adams-Moulton à 2 pas

$$y_{n+1} = y_n + \frac{h}{12} [5f(t_{n+1}, y_{n+1}) + 8f(t_n, y_n) - f(t_{n-1}, y_{n-1})]$$



Adams-Moulton

Méthode Implicite – on a besoin de f_{i+1}

$$\left\{ \begin{array}{l} 1 \text{ pas} : y_{i+1} = y_i + \frac{h}{2}(f_{i+1} + f_i) \\ 2 \text{ pas} : y_{i+1} = y_i + \frac{h}{12}(5f_{i+1} + 8f_i - f_{i-1}) \\ 3 \text{ pas} : y_{i+1} = y_i + \frac{h}{24}(9f_{i+1} + 19f_i - 5f_{i-1} + f_{i-2}) \\ 4 \text{ pas} : y_{i+1} = y_i + \frac{h}{720}(251f_{i+1} + 646f_i - 264f_{i-1} + 106f_{i-2} - 19f_{i-3}) \end{array} \right.$$

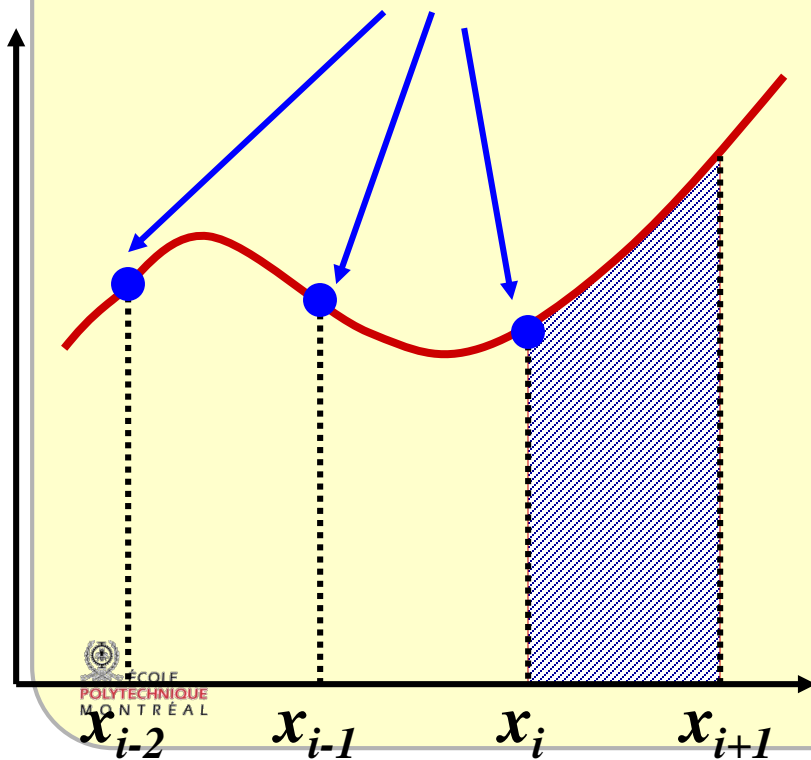


Méthodes d'Adams-Moulton

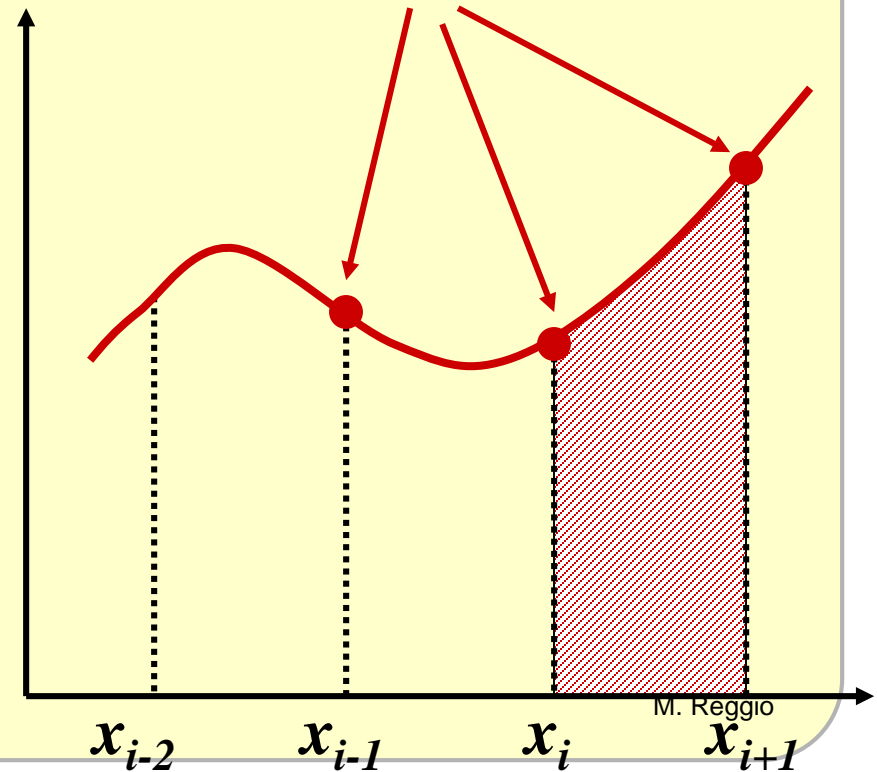
<i>ordre</i>	b_0	b_1	b_2	b_3	b_4	b_5	<i>err. de troncature</i>
2	$\frac{1}{2}$	$\frac{1}{2}$					$-\frac{1}{12}h^3 f''(\eta)$
3	$\frac{5}{12}$	$\frac{8}{12}$	$-\frac{1}{12}$				$-\frac{1}{24}h^4 f'''(\eta)$
4	$\frac{9}{24}$	$\frac{19}{24}$	$-\frac{5}{24}$	$\frac{1}{24}$			$-\frac{19}{720}h^5 f^{(4)}(\eta)$
5	$\frac{251}{720}$	$\frac{646}{720}$	$-\frac{264}{720}$	$\frac{106}{720}$	$-\frac{19}{720}$		$-\frac{27}{1440}h^6 f^{(5)}(\eta)$
6	$\frac{475}{1440}$	$\frac{1427}{1440}$	$-\frac{798}{1440}$	$\frac{482}{1440}$	$-\frac{173}{1440}$	$\frac{27}{1440}$	$-\frac{863}{60480}h^7 f^{(6)}(\eta)$

Adams-Bashforth et Adams-Moulton

Adams-Bashforth
Ouvertes



Adams-Moulton
Fermés





Schémas multi-pas

- Comment alléger le côté implicite d' Adams-Moulton ?
- On remplace y_{n+1} par une valeur estimée par Adams-Bashforth :



Adams-Bashforth-Moulton

$$\begin{cases} \text{prédicteur : } y_{i+1}^* = y_i + h(b_1 f + b_2 f_{i-1} + \dots) \\ \text{correcteur : } y_{i+1} = y_i + h(\bar{b}_0 f_{i+1}^* + \bar{b}_1 f_i + \dots); f_{i+1}^* = f(x_{i+1}, y_{i+1}^*) \end{cases}$$

Prédicteur-correcteur d'ordre 3

$$\begin{aligned} y_{i+1}^* &= y_i + \frac{h}{12} (23 f_i - 16 f_{i-1} + 5 f_{i-2}) \\ &= y_i + \frac{h}{12} [23 f(x_i, y_i) - 16 f(x_{i-1}, y_{i-1}) + 5 f(x_{i-2}, y_{i-2})] \\ y_{i+1} &= y_i + \frac{h}{12} (5 f_{i+1}^* + 8 f_i - f_{i-1}) \\ &= y_i + \frac{h}{12} [5 f(x_{i+1}, y_{i+1}^*) + 8 f(x_i, y_i) - f(x_{i-1}, y_{i-1})] \end{aligned}$$



Prediction-Correction

Adams- Bashforth à trois points pour un premier pas

$$y_{i+1}^* = y_i + \frac{\Delta h}{12} [23f_i - 16f_{i-1} + 5f_{i-2}]$$

Adams-Moulton à trois points pour un deuxième pas

$$y_{i+1} = y_i + \frac{\Delta h}{12} [5f_{i+1}^* + 8f_i - f_{i-1}]$$

Exemple: Adams-Bashforth

Solution Exacte

$$\frac{dy}{dx} = y - x^2$$

$$y = 2 + 2x + x^2 - e^x$$

$$y(0) = 1$$

Le pas: $\Delta h = 0.1$

Adams-Basforth-Moulton (3points)

À partir de quantités obtenues par Runge-Kutta-4

$$f(0,1) = 1.0000$$

$$\frac{dy}{dx} = y - x^2 = f(x, y)$$

$$f(0.1, 1.104829) = \mathbf{1.094829}$$

$$f(0.2, \mathbf{1.218597}) = \mathbf{1.178597}$$

$$y(0.2), RK4$$

Pour calculer $y_{0.3}$ la formule d'**Adams-Bashforth** est:

$$\Delta y = \frac{0.1}{12} [23f_{0.2} - 16f_{0.1} + 5f_{0.0}]$$

Adams-Basforth-Moulton (3points)

Étape de **prédiction**: $y_{i+1}^* = y_i + \frac{\Delta h}{12} [23f_i - 16f_{i-1} + 5f_{i-2}]$

$$\begin{aligned}\Delta y &= \frac{0.1}{12} [23(\mathbf{1.178597}) - 16(\mathbf{1.094829}) + 5(1)] \\ &= 0.121587\end{aligned}$$

$$y^*(0.3) = \mathbf{1.218597} + 0.121587 = \mathbf{1.340184}$$

$y(0.2)$

$$f^*(0.3, \mathbf{1.340184}) = \mathbf{1.250184}$$

$$\frac{dy}{dx} = y - x^2 = f(x, y)$$

Adams-Basforth-Moulton (3points)

Étape de **correction**: $y_{i+1} = y_i + \frac{\Delta h}{12} [5f_{i+1}^* + 8f_i - f_{i-1}]$

$$\Delta y = \frac{0.1}{12} [5(1.250184) + 8(\mathbf{1.178597}) - 1(\mathbf{1.094829})]$$
$$= 0.121541$$

$$y(0.3) = \mathbf{1.218597} + 0.121541 = 1.340138$$

$y(0.2)$

$$f(0.3, 1.340184) = 1.250138$$

Adams-Basforth-Moulton (3points)

$$\Delta y_{i+1} = |y_{i+1} - y_{i+1}^*| \leq tol$$

Adams-Moulton Predicteur-Correcteur à Trois Points					
x	y	f		y*	f*
0	1	1			
0.1	1.104829	1.094829			
0.2	1.218597	1.178597		1.340184	1.250184
0.3	1.340138	1.250138		1.468219	1.308219
0.4	1.468168	1.308168		1.601323	1.351323
0.5	1.601266	1.351266		1.737925	1.377925
0.6	1.737863	1.377863		1.876291	1.386291
0.7	1.876222	1.386222		2.014502	1.374502
0.8	2.014425	1.374425		2.150438	1.340438
0.9	2.150353	1.340353		2.281757	1.281757
1	2.281663	1.281663		2.405869	1.195869



Interprétation intégrale

Les méthodes à multi-pas découlent de l'intégration de:

$$\frac{dy}{dt} = f(y, t) \quad y_{i+1} = y_i + \int_{t_i}^{t_{i+1}} f(y, t) dt$$

$$y(t_{n+1}) = y(t_n) + \int_{t_n}^{t_{n+1}} y'(t) dt = y(t_n) + \underbrace{\int_{t_i}^{t_{i+1}} P_i dt}_{\text{M. Reggio}}$$



Adams-Bashforth

L'intégrale **I** est calculée en remplaçant **f** par une interpolation polynomiale d'ordre **r** (avec les points t_n à t_{n-r})

$$f(t, y(t)) \approx \sum_{k=0}^r L_k(t) f(t_{n-k}, y(t_{n-k}))$$

$$I = h \sum_{k=0}^r b_k f(t_{n-k}, y(t_{n-k}))$$

$$\left(w_j = \int_a^b L_j dx \right)$$

$$\left(b_k = \frac{1}{h} \int_{t_n}^{t_{n+1}} L_k(t) dt \right)$$



Adams-Moulton

L'intégrale **I** est calculée en remplaçant **f** par une interpolation polynomiale **d'ordre r+1** (avec les points t_{n+1} à t_{n-r})

$$I = h \sum_{k=-1}^r b_k f(t_{n-k}, y(t_{n-k}))$$

$$y_{n+1} = y_n + I$$

Méthode implicite : y_{n+1} dépend de $f(t_{n+1}, y_{n+1})$

M. Reggio



$$y_{i+1} - y_i = \int_{x_i}^{x_{i+1}} P_i(x) dx$$

$$P_i^{(r)} = \sum_{k=0}^r f_{i-k} L_{i,k}^{(r)}(x)$$

$$L_{i,k}^{(r)}(x) = \prod_{j=0}^r \frac{(x - x_{i-j})}{(x_{i-k} - x_{i-j})}$$

k: indice du polynôme, **i** indice du dernier point d'un total de **r+1** points



$$y_{i+1} - y_i = \sum_{k=0}^r f_{i-k} \int_{x_i}^{x_{i+1}} L_{i,k}^{(r)}(x) dx$$

$$b_{i,k}^{(r)} = \frac{1}{h} \int_{x_i}^{x_{i+1}} L_{i,k}^{(r)}(x) dx$$

$$y_{i+1} = y_i + h \sum_{k=0}^r b_{i,k}^{(r)} f_{i-k}$$

↓

$$b_{i,k} = w_{i-k}$$



Cas linéaire

$$x = x_0, \quad x = x_1$$

$$y = y_0, \quad y = y_1$$

$$L_0(x) = \frac{(x - x_1)}{(x_0 - x_1)}$$

$$L_1(x) = \frac{(x - x_0)}{(x_1 - x_0)}$$

$$P(x) = y_0 L_0(x) + y_1 L_1(x)$$



Cas quadratique

$$x_1 = 2, x_2 = 4, x_3 = 5,$$

$$y_1 = 3, y_2 = 2, y_3 = 4,$$

$$L_1(x) = \frac{(x - 4)(x - 5)}{(2 - 4)(2 - 5)}$$

$$L_2(x) = \frac{(x - 2)(x - 5)}{(4 - 2)(4 - 5)}$$

$$L_3(x) = \frac{(x - 2)(x - 4)}{(5 - 2)(5 - 4)}$$

$$P(x) = 3L_1(x) + 2L_2(x) + 4L_3(x)$$



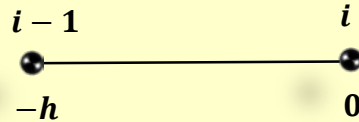
Ex: Adams-Bashforth

$$L_0(x) = \frac{(x - x_1)}{(x_0 - x_1)}$$

$$x_0 = -h \quad x_1 = 0$$

$$L_1(x) = \frac{(x - x_0)}{(x_1 - x_0)}$$

$$L_{i,0}^{(1)}(x) = -\frac{x}{h}$$



$$L_{i,1}^{(1)}(x) = \frac{(x + h)}{h}$$

$$b_{i,0}^{(1)} = \frac{1}{h} \int_0^h -\frac{x}{h} dx = -\frac{1}{2}$$

$$b_{i,1}^{(1)} = \frac{1}{h} \int_0^h \frac{x + h}{h} dx = \frac{3}{2}$$

$$y_{i+1} = y_i + \frac{h}{2} (3f_i - f_{i-1})$$



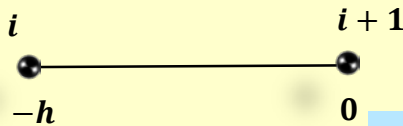
Ex: Adams-Moulton

$$L_{i,0}^{(1)}(x) = -\frac{x}{h}$$

$$L_{i,1}^{(1)}(x) = \frac{(x+h)}{h}$$

$$\hat{b}_{i,0}^{(1)} = \frac{1}{h} \int_{-h}^0 -\frac{x}{h} dx = \frac{1}{2}$$

$$\hat{b}_{i,1}^{(1)} = \frac{1}{h} \int_{-h}^0 \frac{x+h}{h} dx = \frac{1}{2}$$



$$y_{i+1} = y_i + \frac{h}{2} (f_i + f_{i+1})$$



$y'(x) = f(x, y)$ dans l'intervalle $[i, i + 1]$

1. L'intégration

$$y(x_{i+1}) - y(x_i) = \int_{x_i}^{x_{i+1}} f(x, y) dx$$

2. L'approximation de $f(x, y)$ par un polynôme $\phi(x, y)$

$$\phi^{(r)}(x) = \sum_{k=0}^r f_k L_k^{(r)}(x) \quad \text{avec} \quad L_k^{(r)}(x) = \prod_{j=0}^r \frac{(x - x_k)}{(x_j - x_k)}$$



Formulation Unique

$$y_{i+1} = y_i + h \sum_{k=1}^r \left(\int_{x_i}^{x_{i+1}} L_k(x) dx \right) f_k$$

Lorsque les f_k sont évaluées aux positions;
 $i+1, i, i-1, \dots \rightarrow$ ADAMS.

Si on inclut, $i+1, \rightarrow$ Adams-Moulton.
Le cas contraire \rightarrow Adams-Bashforth.

Lorsque les f_k sont évaluées dans l'intervalle
 $[i, i+1, \rightarrow$ Runge-Kutta.



EDOs d'ordre supérieur

On peut les représenter par

$$\begin{cases} y^{(n)} = f(x, y, y', y'', \dots, y^{(n-1)}) \\ y(0) = \alpha_0, y'(0) = \alpha_1, \dots, y^{(n-1)}(0) = \alpha_{n-1} \end{cases}$$

et on les transforme

$$\text{soit } \begin{cases} u_1 = y \\ u_2 = y' \\ u_3 = y'' \\ \vdots \\ u_n = y^{(n-1)} \end{cases} \Rightarrow \begin{cases} u'_1 = u_2, \\ u'_2 = u_3, \\ u'_3 = u_4, \\ \vdots \\ u'_n = f(x, u_1, u_2, \dots, u_n), \end{cases} \quad \begin{aligned} u_1(0) &= \alpha_0 \\ u_2(0) &= \alpha_1 \\ u_3(0) &= \alpha_2 \\ &\vdots \\ u_n(0) &= \alpha_{n-1} \end{aligned}$$



Système de 1er ordre

Exemple
$$\begin{cases} y''' = f(x, y, y', y'') = x^2 + 4xy - 3y' + 5y'' \\ y(0) = 2, \quad y'(0) = 4, \quad y''(0) = 1 \end{cases}$$

avec $u_1 = y, \quad u_2 = y', \quad u_3 = y''$

On trouve trois EDOs aux valeurs initiales

$$\begin{cases} u_1' = f_1(x, u_1, u_2, u_3) = u_2 \\ u_2' = f_2(x, u_1, u_2, u_3) = u_3 \\ u_3' = f_3(x, u_1, u_2, u_3) = x^2 + 4xu_1 - 3u_2 + 5u_3 \end{cases} \quad \begin{cases} u_1(0) = 2 \\ u_2(0) = 4 \\ u_3(0) = 1 \end{cases}$$

En Notation Vectorielle $\Rightarrow u' = f(x, u)$



$$\begin{cases} y''' = f(x, y, y', y'') = x^2 + 4xy - 3y' + 5y'' \\ y(0) = 2, \quad y'(0) = 4, \quad y''(0) = 1 \end{cases}$$

Premier pas: $x(0) = 0, x(1) = 0.5$ ($h = 0.5$)

$$\begin{cases} u_1(1) = u_1(0) + hu_2(0) = 2 + (0.5)(4) = 4.0 \\ u_2(1) = u_2(0) + hu_3(0) = 4 + (0.5)(1) = 4.5 \\ u_3(1) = u_3(0) + h[x^2(0) + 4x(0)u_1(0) - 3u_2(0) + 5u_3(0)] \\ \quad = 1 + 0.5[(0)^2 + 4(0)(2) - 3(4) + 5(1)] = -5/2 \end{cases} \quad \begin{cases} u_1(0) = 2 \\ u_2(0) = 4 \\ u_3(0) = 1 \end{cases}$$

$$\begin{cases} u'_1 = f_1(x, u_1, u_2, u_3) = u_2 \\ u'_2 = f_2(x, u_1, u_2, u_3) = u_3 \\ u'_3 = f_4(x, u_1, u_2, u_3) = x^2 + 4xu_1 - 3u_2 + 5u_3 \end{cases} \quad \begin{cases} u_1(0) = 2 \\ u_2(0) = 4 \\ u_3(0) = 1 \end{cases}$$

En Notation Vectorielle $\Rightarrow u' = f(x, u)$

Reggio



Exemple: Euler

$$\begin{cases} u_1(2) = u_1(1) + hu_2(1) = 4.0 + (0.5)(4.5) = 6.25 \\ u_2(2) = u_2(1) + hu_3(1) = 4.5 + (0.5)(-5/2) = -13/4 \\ u_3(2) = u_3(1) + h[x^2(1) + 4x(1)u_1(1) - 3u_2(1) + 5u_3(1)] \\ \quad = 2.5 + 0.5[(0.5)^2 + 4(0.5)(4.0) - 3(4.5) + 5(-5/2)] = \end{cases}$$

$$\begin{cases} u'_1 = f_1(x, u_1, u_2, u_3) = u_2 \\ u'_2 = f_2(x, u_1, u_2, u_3) = u_3 \\ u'_3 = f_4(x, u_1, u_2, u_3) = x^2 + 4xu_1 - 3u_2 + 5u_3 \end{cases} \quad \begin{cases} u_1(0.5) = 4 \\ u_2(0.5) = 4.5 \\ u_3(0.5) = -2.5 \end{cases}$$

En Notation Vectorielle $\Rightarrow u' = f(x, u)$

Deux EDOs Runge-Kutta

Méthode du point milieu

$$\begin{cases} k_1 = hf(x_i, y_i) \\ k_2 = hf(x_i + h/2, y_i + k_1/2) \\ y_{i+1} = y_i + k_2 \end{cases}$$

Deux EDOs
(u,v)

$$\begin{cases} k_1 = hf(x_i, u_i, v_i) \\ m_1 = hg(x_i, u_i, v_i) \\ k_2 = hf(x_i + h/2, u_i + k_1/2, v_i + m_1/2) \\ m_2 = hg(x_i + h/2, u_i + k_1/2, v_i + m_1/2) \\ u_{i+1} = u_i + k_2 \\ v_{i+1} = v_i + m_2 \end{cases}$$



Runge-Kutta:systèmes

Runge-Kutta d'ordre deux

$$\begin{cases} k_1 = hf_1(x(i), u_1(i), u_2(i), u_3(i)) \\ k_2 = hf_2(x(i), u_1(i), u_2(i), u_3(i)) \\ k_3 = hf_3(x(i), u_1(i), u_2(i), u_3(i)) \end{cases}$$

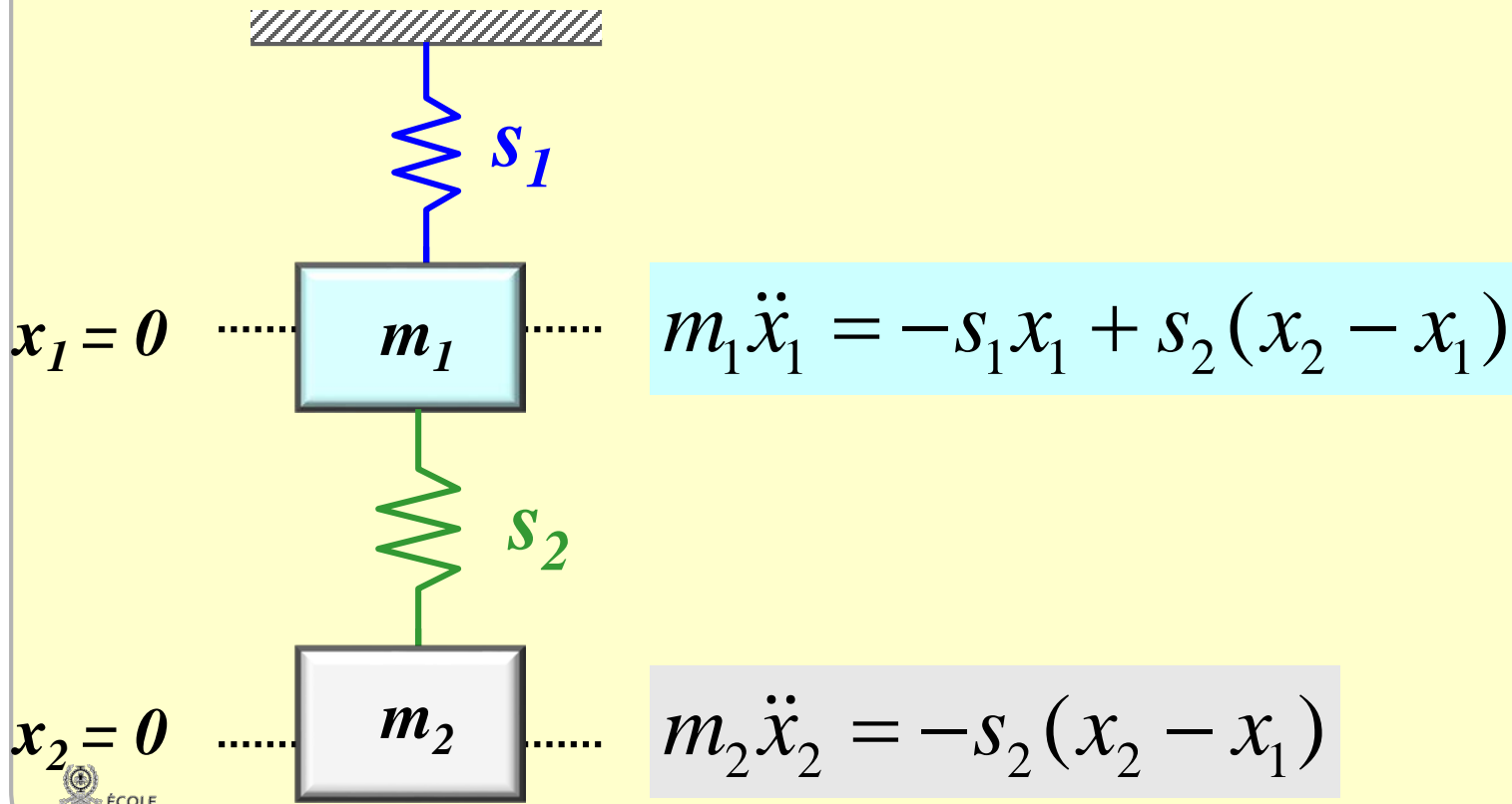
$$\begin{cases} m_1 = hf_1(x(i) + h/2, u_1(i) + k_1/2, u_2(i) + k_2/2, u_3(i) + k_3/2) \\ m_2 = hf_2(x(i) + h/2, u_1(i) + k_1/2, u_2(i) + k_2/2, u_3(i) + k_3/2) \\ m_3 = hf_3(x(i) + h/2, u_1(i) + k_1/2, u_2(i) + k_2/2, u_3(i) + k_3/2) \end{cases}$$

$$\begin{cases} u_1(i+1) = u_1(i) + m_1 \\ u_2(i+1) = u_2(i) + m_2 \\ u_3(i+1) = u_3(i) + m_3 \end{cases}$$



Système M-R-A

Constantes des ressorts (s_1, s_2)

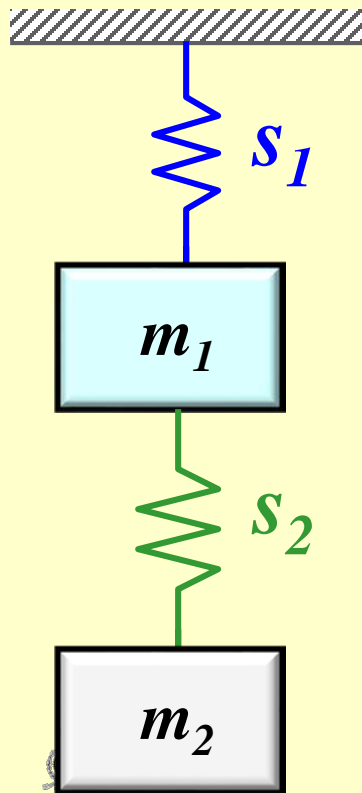


M. Reggio



Système M-R-A

On transforme en un système de 4 EDOs de 1er ordre



soit $u_1 = x_1$, $u_2 = x_1'$, $u_3 = x_2$, $u_4 = x_2'$

$$\begin{cases} u_1' = u_2 \\ u_2' = -\frac{s_1}{m_1}u_1 + \frac{s_2}{m_1}(u_3 - u_1) \\ u_3' = u_4 \\ u_4' = -\frac{s_2}{m_2}(u_3 - u_1) \end{cases} \quad \begin{cases} u_1(0) = \alpha_1 \\ u_2(0) = \alpha_2 \\ u_3(0) = \alpha_3 \\ u_4(0) = \alpha_4 \end{cases}$$

$$m_2 \ddot{x}_2 = -s_2(x_2 - x_1) \quad m_1 \ddot{x}_1 = -s_1 x_1 + s_2(x_2 - x_1)$$

M. Reggio



Fin.....